

**Simulação numérica de escoamento
reativo, transferência de calor e
termoelasticidade em motor-foguete**

Financiador: AEB

Execução: grupo CFD/UFPR

Jul/2007 – Jun/2009

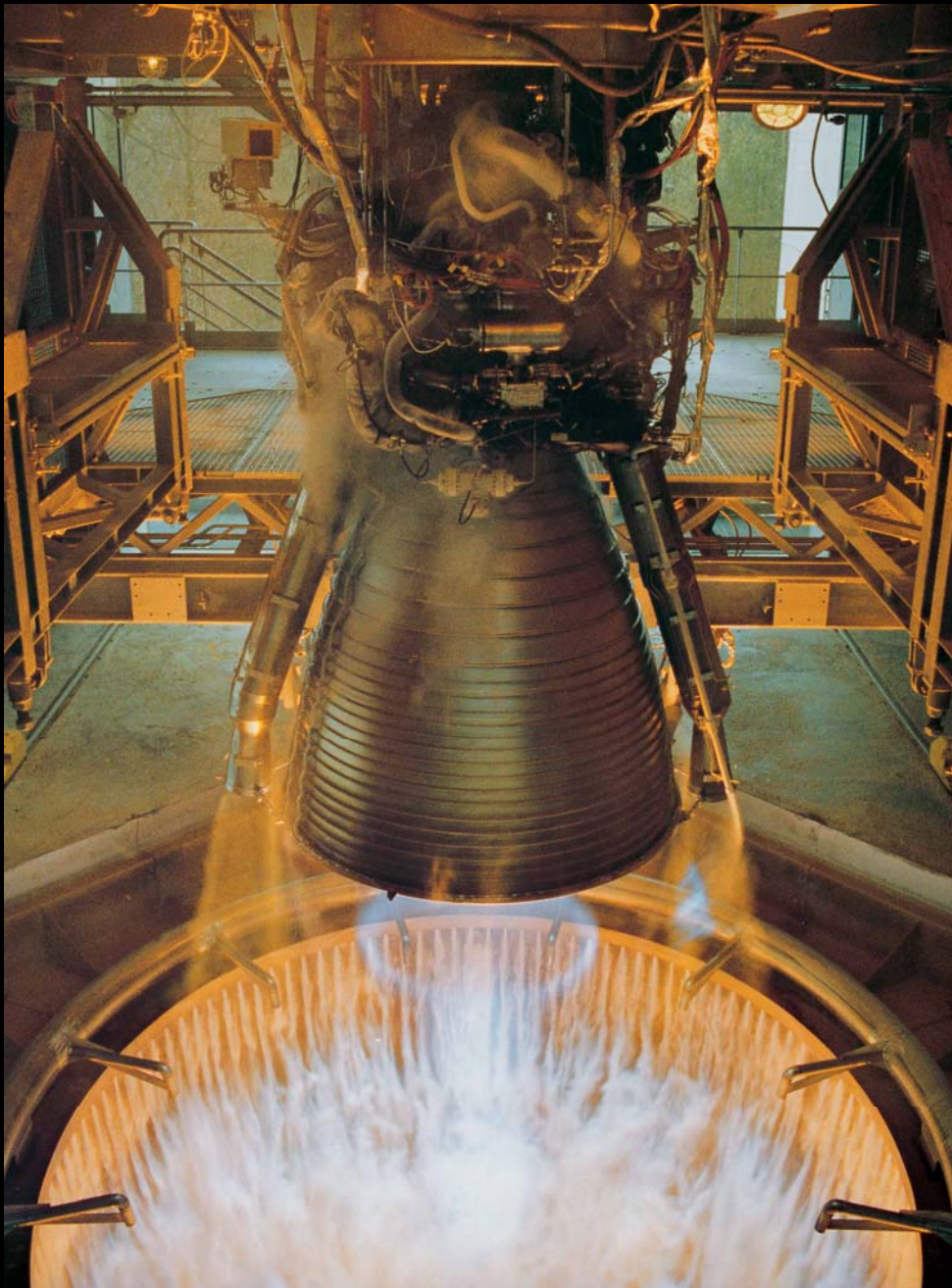
Objetivo principal

Implementar códigos computacionais para obter:

- Empuxo do motor-foguete
- Temperatura máxima da parede

Considerações:

- Motor-foguete a propelente líquido
- Propelente H_2/O_2
- Refrigeração regenerativa ou radiativa

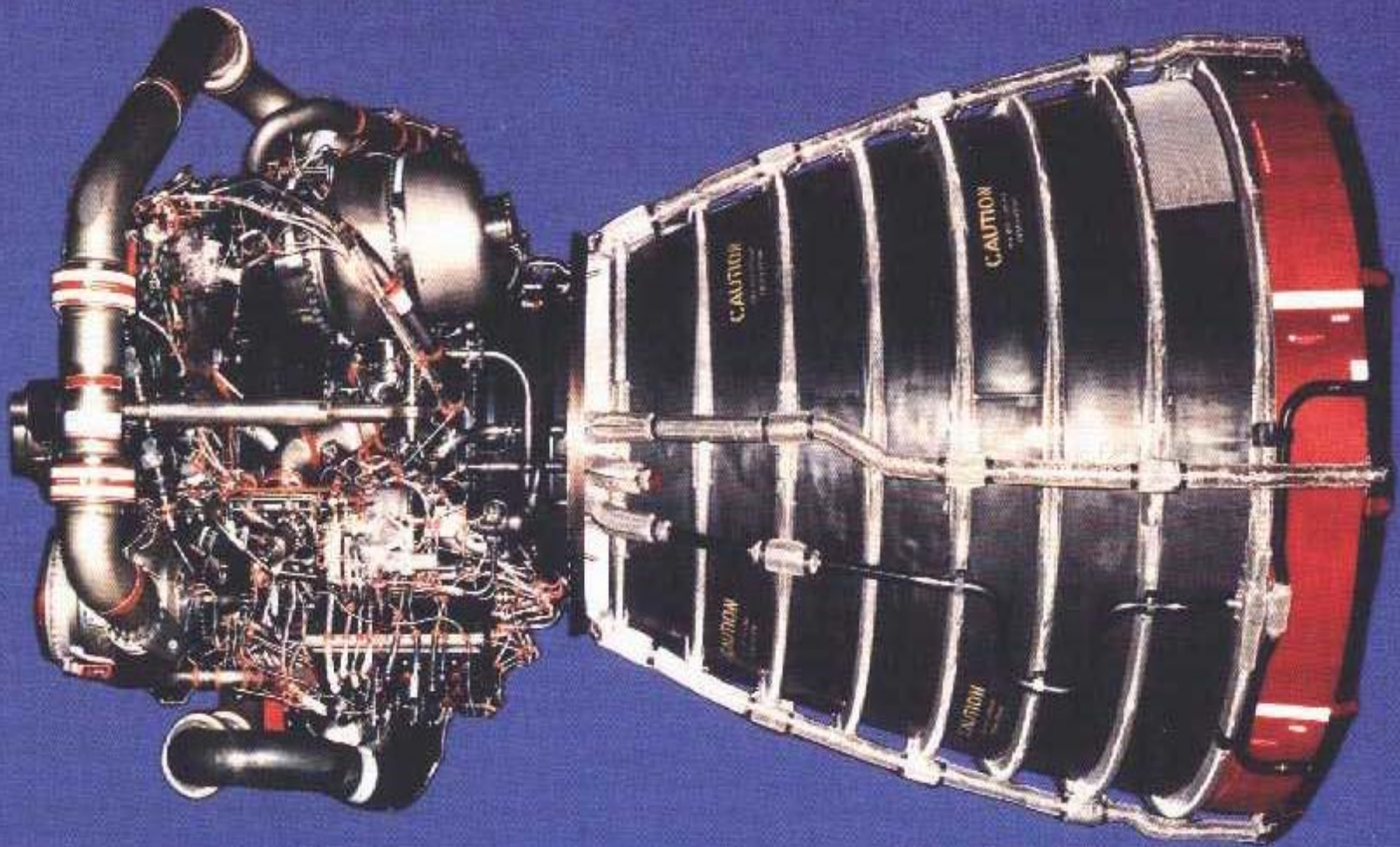


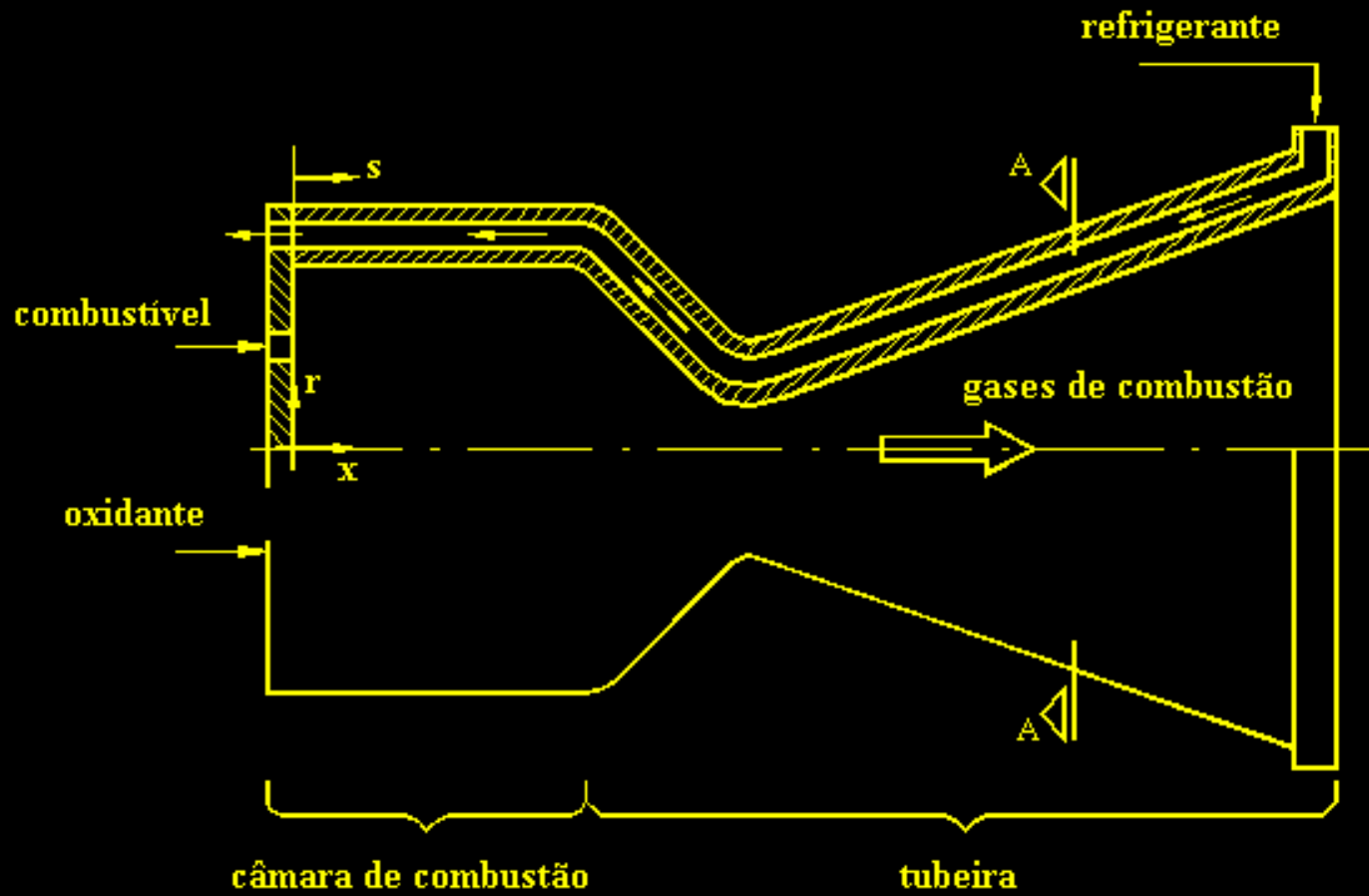
Motor-foguete

Vulcain do

Ariane V

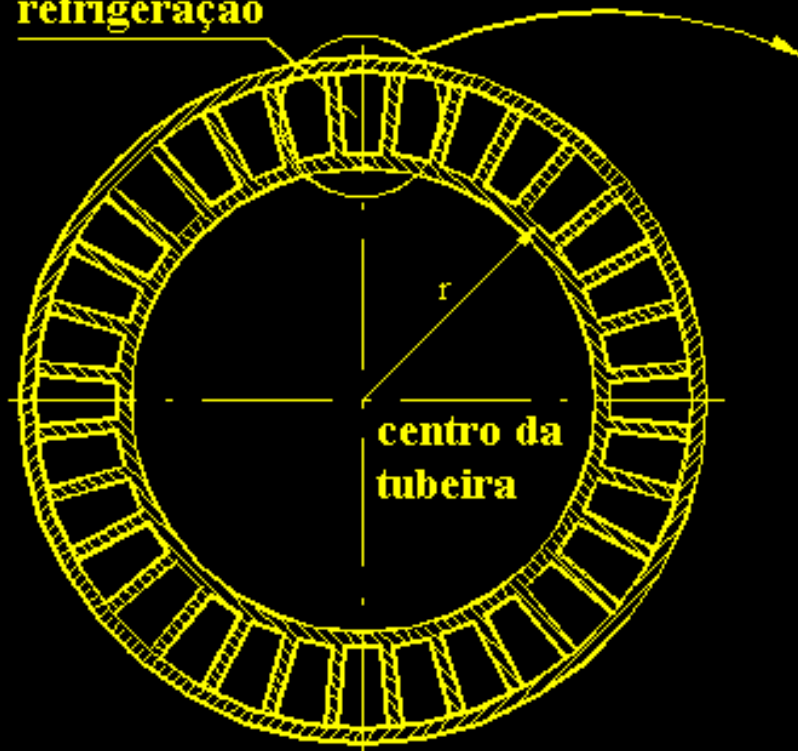
Motor-foguete SSME do Space Shuttle



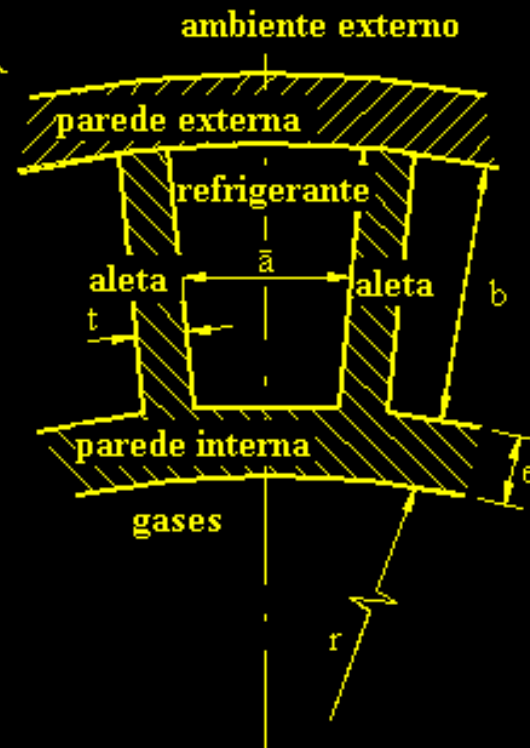


Esquema de motor-foguete bipropelente com refrigeração regenerativa

canais de
refrigeração



seção A-A



detalhes dos canais

Detalhes dos canais de refrigeração

Motor Vulcain (Ariane V)

- F (nível do mar) = 103 tf
- T_w -max = 750 K
- T_o = 3.500 K
- P_o = 100 atm
- q'' max = 60 MW/m²
- Canais = 360
- Altura = 9,5 a 12 mm
- Largura = 1,3 a 2,6 mm

Metas

- 1: Escoamento laminar 2D não-reativo (tubeira)
- 2: Escoamento laminar 2D reativo (tubeira)
- 3: Acoplar refrigeração regenerativa e radiativa 1D
- 4: Condução e termoelasticidade 2D na parede

Modelos físicos para escoamento na tubeira

- 1: Gás com propriedades constantes
- 2: Gás com propriedades variáveis
- 3: Gases congelados
- 4: Gases em equilíbrio químico local
- 5: Gases com taxa finita de reação

Escoamento relativo 2D laminar

$$C^\phi \left[\frac{\partial}{\partial t} (\rho \phi) + \frac{\partial}{\partial x} (\rho u \phi) + \frac{1}{r} \frac{\partial}{\partial y} (r \rho v \phi) \right] = \frac{\partial}{\partial x} \left(\Gamma^\phi \frac{\partial \phi}{\partial x} \right) + \frac{1}{r} \frac{\partial}{\partial y} \left(r \Gamma^\phi \frac{\partial \phi}{\partial y} \right) + P^\phi + S^\phi$$

| Equação | ϕ | C^ϕ | Γ^ϕ | P^ϕ | S^ϕ |
|----------|--------|----------|---------------|---|--|
| Massa | 1 | 1 | 0 | 0 | 0 |
| QML-x | u | 1 | μ | $-\frac{\partial p}{\partial x}$ | $\frac{1}{3} \frac{\partial}{\partial x} \left(\mu \frac{\partial u}{\partial x} \right) + \frac{1}{r} \frac{\partial}{\partial y} \left(\mu \frac{\partial v}{\partial x} \right) - \frac{2}{3} \frac{\partial}{\partial x} \left[\frac{\mu}{r} \frac{\partial}{\partial y} (r v) \right]$ |
| QML-y | v | 1 | μ | $-\frac{\partial p}{\partial y}$ | $\frac{1}{3r} \frac{\partial}{\partial y} \left(r \mu \frac{\partial v}{\partial y} \right) + \frac{\partial}{\partial x} \left(\mu \frac{\partial u}{\partial y} \right) - \frac{2}{3} \frac{\partial}{\partial y} \left(\mu \frac{\partial u}{\partial y} \right) - \frac{4}{3} f \frac{u}{r^2} v - \frac{2}{3r} f v \frac{\partial \mu}{\partial y}$ |
| Energia | T | c_p | k | $\frac{\partial p}{\partial t} - uP^u - vP^v$ | $2\mu \left[\left(\frac{\partial u}{\partial x} \right)^2 + \left(\frac{\partial v}{\partial y} \right)^2 + f \left(\frac{v}{r} \right)^2 \right] + \mu \left(\frac{\partial v}{\partial x} + \frac{\partial u}{\partial y} \right)^2 - \frac{2}{3} \mu \left(\frac{\partial u}{\partial x} + \frac{\partial v}{\partial y} + f \frac{v}{r} \right)^2 + S_{eq/1f}$ |
| Espécies | Y_i | 1 | 0 | 0 | \dot{w}_i |

Escoamento reativo 2D laminar

Equilíbrio químico local

$$S_{eq/tf} = -\frac{\partial}{\partial x} \left(\sum_{i=1}^{N_e} \rho h_i Y_i u \right) - \frac{1}{r} \frac{\partial}{\partial y} \left(\sum_{i=1}^{N_e} r \rho h_i Y_i v \right)$$

Taxa finita: $S_{eq/tf} = -\sum_{i=1}^{N_e} h_i \dot{w}_i$ $p = \sum_{i=1}^{N_e} p_i$

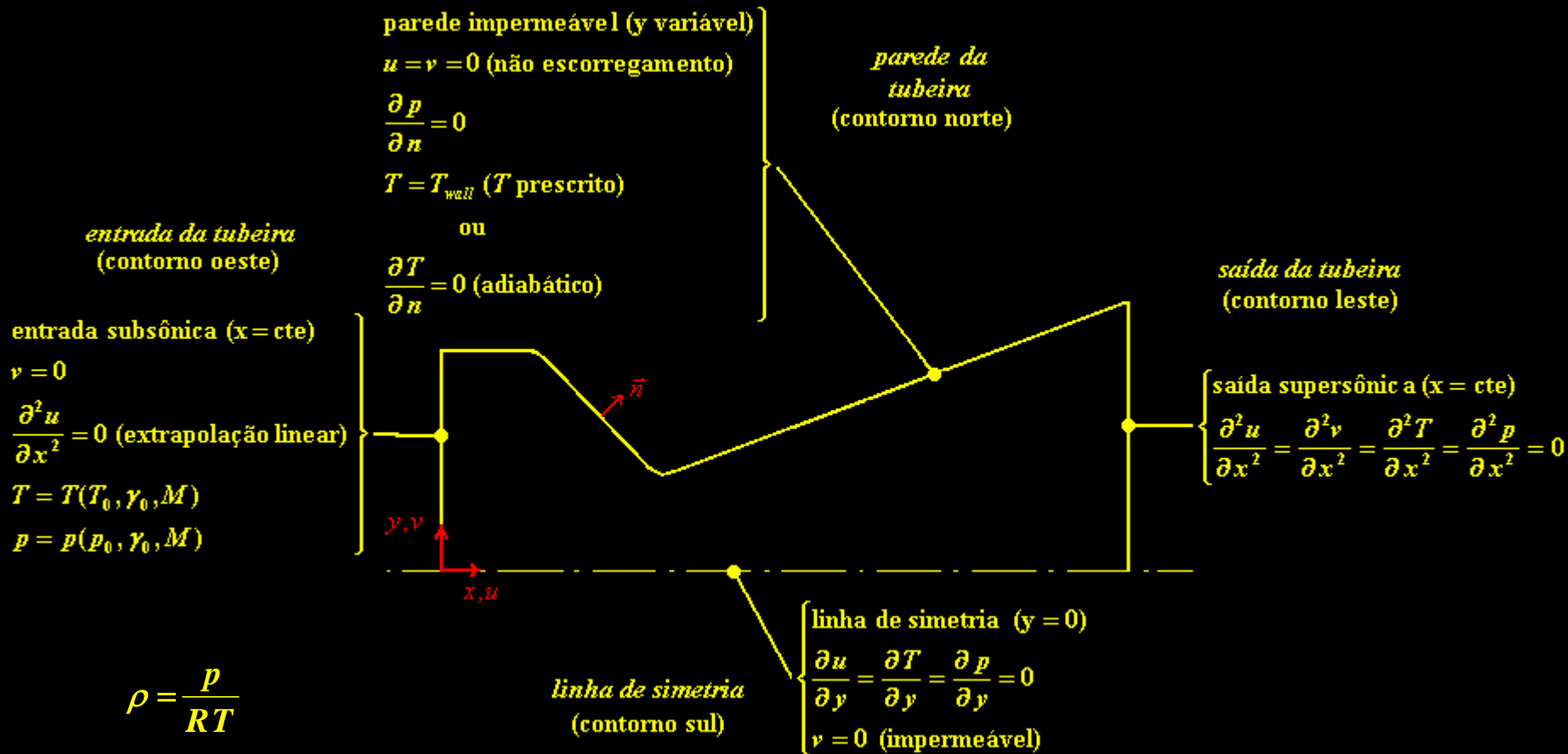
$$c_p = \sum_{i=1}^{N_e} Y_i (c_p)_i \quad R = \sum_{i=1}^{N_e} Y_i R_i \quad p = \rho R T$$

Modelos químicos para H_2/O_2

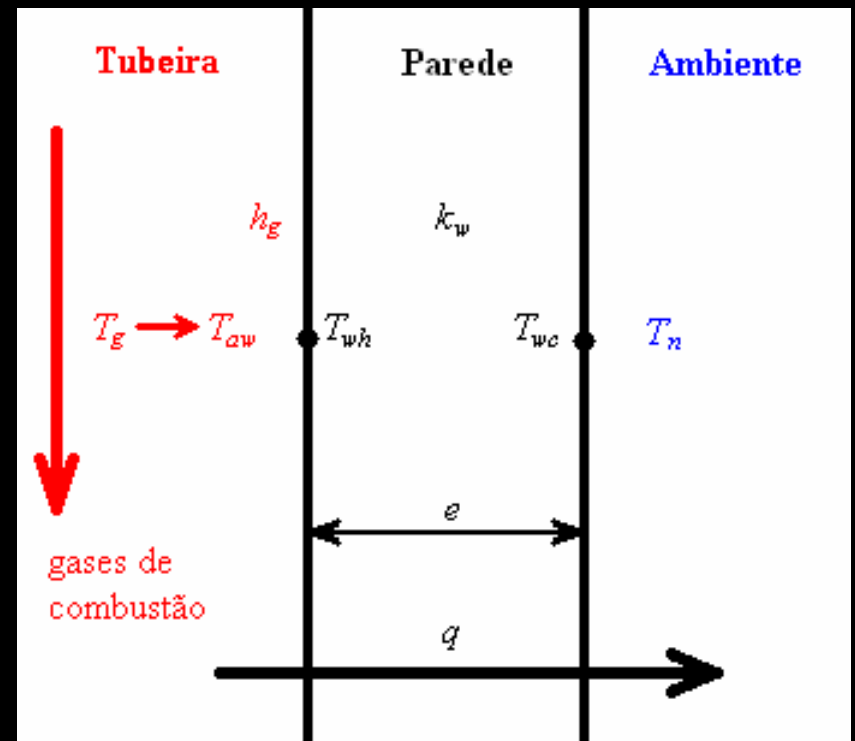
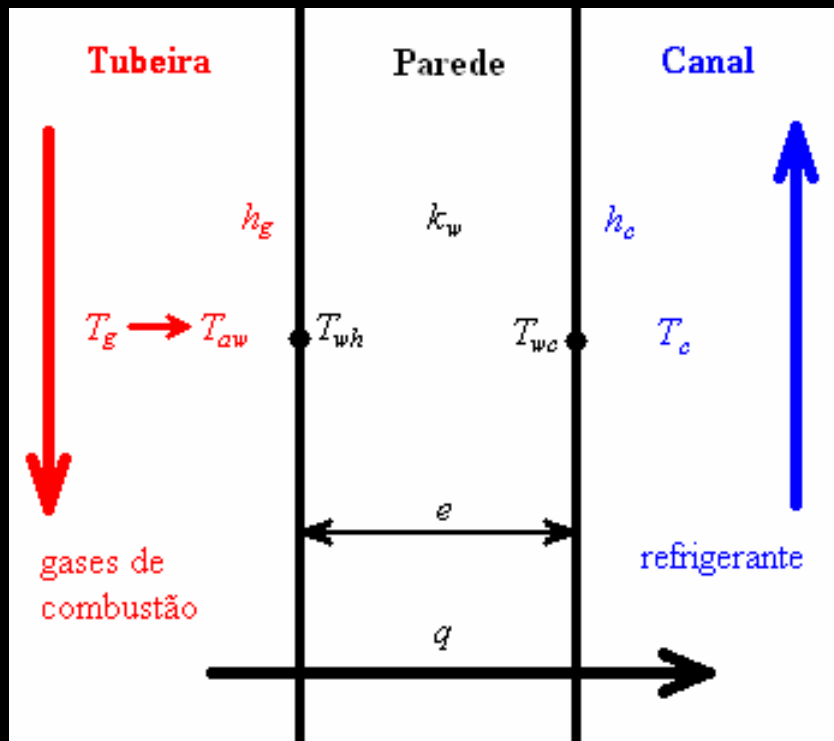
9 equilíbrio e 6 taxa finita

| Modelo | Número de reações | Número de espécies | Espécies envolvidas |
|--------|-------------------|--------------------|---|
| 0 | 0 | 3 | H_2O , O_2 , H_2 |
| 1 | 1 | 3 | H_2O , O_2 , H_2 |
| 2 | 2 | 4 | H_2O , O_2 , H_2 , OH |
| 3 | 4 | 6 | H_2O , O_2 , H_2 , OH , O , H |
| 4 | 4 | 6 | H_2O , O_2 , H_2 , OH , O , H |
| 5 | 8 | 6 | H_2O , O_2 , H_2 , OH , O , H |
| 7 | 8 | 6 | H_2O , O_2 , H_2 , OH , O , H |
| 10 | 6 | 8 | H_2O , O_2 , H_2 , OH , O , H , HO_2 , H_2O_2 |
| 9 | 18 | 8 | H_2O , O_2 , H_2 , OH , O , H , HO_2 , H_2O_2 |

Condições de contorno



$$\rho = \frac{p}{RT}$$



Escoamento 1D nos canais

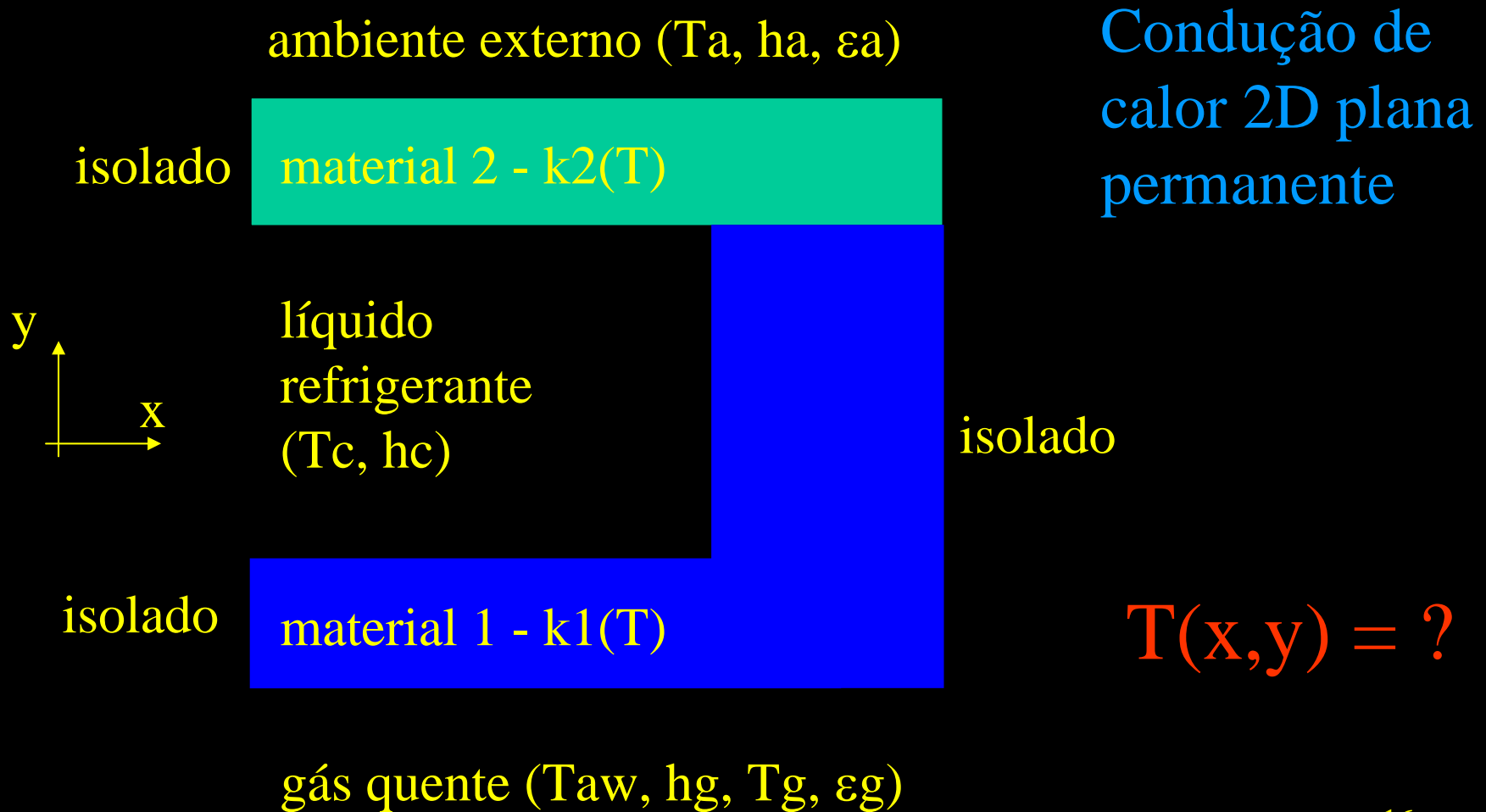
$$\frac{d}{ds}(\rho_c u_c S_c) = 0$$

$$\frac{d}{ds}(\rho_c u_c S_c u_c) = -S_c \frac{dp_c}{ds} + F'_c$$

$$(c_p)_c \frac{d}{ds}(\rho_c u_c S_c T_c) = \beta T_c u_c S_c \frac{dp_c}{ds} + q'_c$$

$$F'_c = -\frac{\pi}{8} f_c \rho_c u_c |u_c| D_c \quad q'_c = |u_c F'_c| + S'_{wc} h_c (T_{wc} - T_c)$$

Problema térmico - transversal



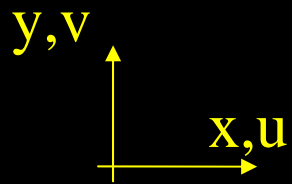
Problema termoelástico – transversal; $u, v, \sigma, \epsilon: x, y$?

ambiente externo (pa)

Termoelasticidade linear 2D plana permanente

$$u = v = 0$$

material 2 – $T_2(x, y)$



líquido refrigerante (pc)

$$u = v = 0$$

$$u = v = 0$$

material 1 – $T_1(x, y)$

Estado plano de tensões

gás quente (pg)

Modelo matemático - transversal

$$\frac{\partial}{\partial x} \left(k \frac{\partial T}{\partial x} \right) + \frac{\partial}{\partial y} \left(k \frac{\partial T}{\partial y} \right) = 0$$

$$\frac{(1+\lambda)}{(1-\lambda)} \frac{\partial}{\partial x} \left(\frac{\partial u}{\partial x} + \frac{\partial v}{\partial y} \right) + \frac{\partial^2 u}{\partial x^2} + \frac{\partial^2 u}{\partial y^2} = 2\alpha \frac{(1+\lambda)}{(1-\lambda)} \frac{\partial T}{\partial x}$$

$$\frac{(1+\lambda)}{(1-\lambda)} \frac{\partial}{\partial y} \left(\frac{\partial u}{\partial x} + \frac{\partial v}{\partial y} \right) + \frac{\partial^2 v}{\partial x^2} + \frac{\partial^2 v}{\partial y^2} = 2\alpha \frac{(1+\lambda)}{(1-\lambda)} \frac{\partial T}{\partial y}$$

Problema térmico - longitudinal

Condução de calor 2D axissimétrica permanente

$$T(z,r) = ?$$

ambiente externo (T_a , h_a , ϵ_a)

isolado

isolado

$k(T)$

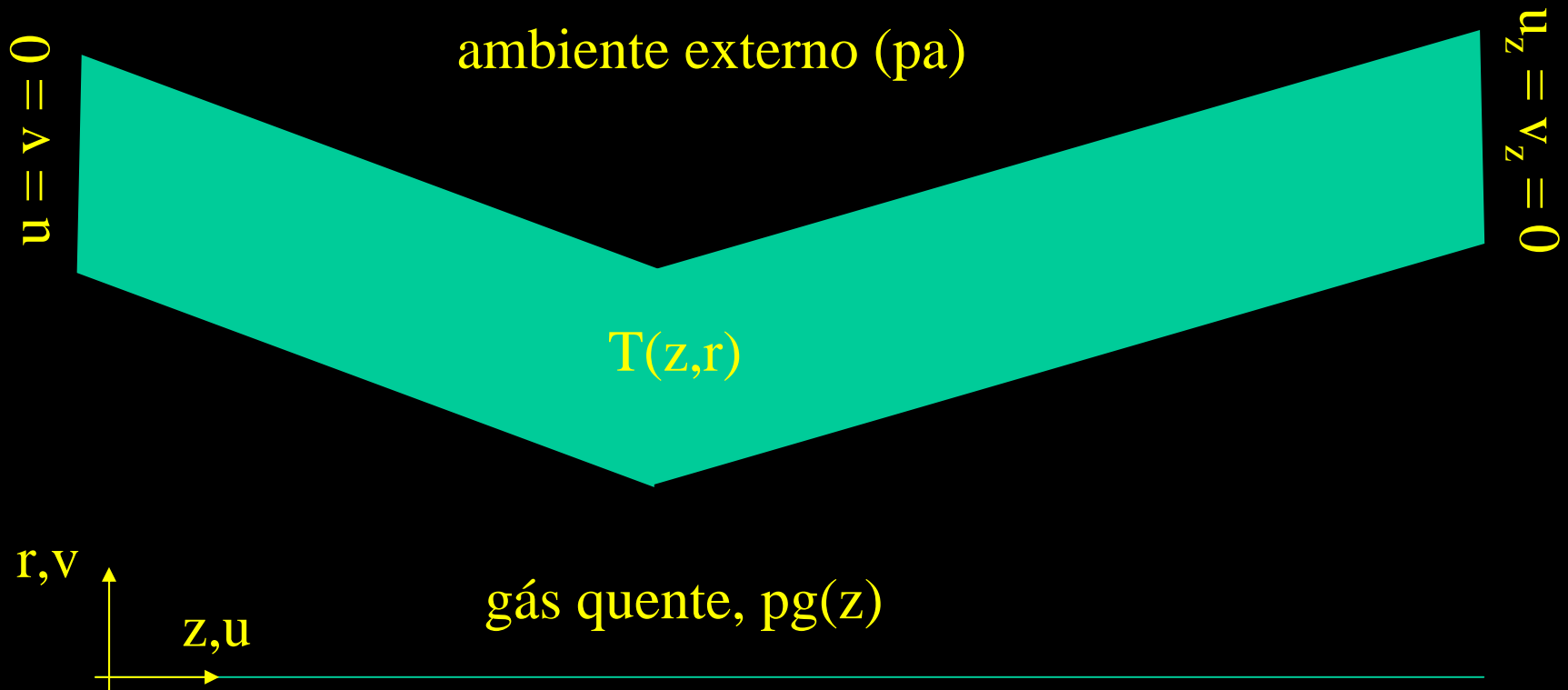
r

z

gás quente; $T_{aw}(z)$, $h_g(z)$, $T_g(z)$, ϵ_g

Problema termoelástico – longitudinal; $u, v, \sigma, \varepsilon: z, r$?

Termoelasticidade linear 2D axissimétrica permanente



Metodologia geral

- Método dos Volumes Finitos
- Aproximações numéricas de segunda ordem
- Arranjo co-localizado de variáveis
- Formulação para qualquer regime de velocidades
- Malhas estruturadas cartesianas e não-ortogonais
- Estimativa do erro numérico com GCI
- Linguagem Fortran 90/95/2003
- *Solvers* G-S, ADI e MSI com *multigrid*

Principais resultados esperados

- 3 códigos
- 4 artigos
- 4 relatórios técnicos

Equipe atual

Leandro A. Novak, D

Cosmo D.Santiago, D

Neil F. Carvalho, D

Fabiana F. Giacomini, M

Eduardo M. Germer, M

Carlos H. Marchi (UFPR)

2 M

Luciano K. Araki (UFPR)

3 D

Ricardo C. Almeida (UFPR)

6 P

Márcio A. V. Pinto (UEPG)

total = 11

A. Fábio C. Silva (UFSC)

J. Nivaldo Hinckel (INPE)